

**ВНУТРЕННЯЯ ЗАДАЧА РАССЕИВАНИЯ  
НЕСТАЦИОНАРНОЙ СФЕРИЧЕСКОЙ ВОЛНЫ  
НА ПОВЕРХНОСТИ АКУСТИЧЕСКОГО ТЕЛА ВРАЩЕНИЯ**

Внешняя задача рассеивания сферической волны на поверхности упругого тела неканонической формы рассмотрена в работе [4]. В работе [7] изучена дифракция звуковых импульсов, генерируемых внутренним источником на поверхности акустической сферы. В данной статье рассмотрим задачу рассеивания сферической звуковой волны давления

$$p_i = p_0 \rho^{-1} \delta(\tau - \rho) \quad (1)$$

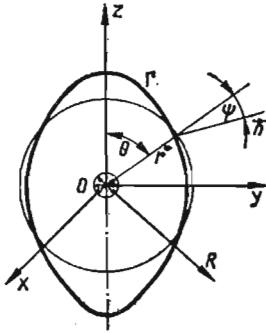


Рис. 1

на поверхности ( $\rho = 1$ ) акустического тела в вакууме, образующейся вращением некоторой кривой  $\Gamma$  вокруг оси  $Oz$  (рис. 1). Полагаем, что форма тела мало отличается от сферической (радиус сферы  $a_0$ ),  $p_0$  — постоянная, имеющая размерность давления,  $\tau = ct/a_0$  — безразмерное время,  $c$  — скорость звука в среде,  $t$  — время,  $r, \theta, \varphi$  — сферическая,  $R, \varphi, z$  — цилиндрическая и  $x, y, z$  — декартова системы координат с началом отсчета в центре масс тела — точке источника возмущения (1) (см. рис. 1). Линейные величины задачи отнесены к радиусу сферы  $a_0$ .

Для определения переизлученной волны давления  $p_e$  необходимо решить волновое уравнение

$$\left[ \frac{\partial^2}{\partial r^2} + \frac{2}{r} \frac{\partial}{\partial r} + \frac{1}{r^2} \left( \frac{\partial^2}{\partial \theta^2} + \text{ctg} \theta \frac{\partial}{\partial \theta} \right) - \frac{\partial^2}{\partial \tau^2} \right] p_e = 0 \quad (2)$$

с учетом условий причинности [5]

$$p_e \equiv 0 \equiv \frac{\partial p_e}{\partial \tau} \quad (\tau \leq 0) \quad (3)$$

и условия на свободной поверхности тела

$$p_e + p_i = 0 \quad (\rho = 1). \quad (4)$$

Задачу решаем с помощью метода возмущения формы границы [2], согласно которому

$$p_e(r, \theta, \tau) = \sum_{i=0}^{\infty} \varepsilon^i p_e^{(i)}(r, \theta, \tau), \quad (5)$$

$$p_e(\rho, \gamma, \tau) = \sum_{i=0}^{\infty} \varepsilon^i |p_e(\rho, \gamma, \tau)|^{(i)}, \quad (6)$$

где  $p_e^{(j)}$  и  $|p_e|^{(j)}$  ( $j = 0, 1, \dots$ ) — последовательные приближения искомого давления  $p_e$  в различных системах координат. При этом [2]

$$r = \sqrt{\omega(\zeta) \overline{\omega(\zeta)}}, \quad \theta = \text{arctg} \frac{1}{i} \frac{\omega(\zeta) - \overline{\omega(\zeta)}}{\omega(\zeta) + \overline{\omega(\zeta)}},$$

$$e^{i\psi} = \frac{\zeta}{|\zeta|} \frac{\overline{\omega(\zeta)}}{|\omega(\zeta)|} \frac{\omega'(\zeta)}{|\omega'(\zeta)|},$$

где  $\psi$  — угол между касательными в точках пересечения кривых  $r$  и  $\rho$ , а функция

$$z + iR = a_0^{-1} \omega(\zeta) = \zeta + \varepsilon f(\zeta) = r e^{i\theta}, \quad \zeta = \rho e^{i\gamma}, \quad |\varepsilon| \ll 1 \quad (7)$$

реализует конформное отображение плоскости с круговым отверстием единичного радиуса на плоскость с отверстием, ограниченным кривой  $\Gamma$ . Так, в случае, когда

$$\tilde{f}(\zeta) = \zeta^{-N}, \quad (8)$$

выбирая различные значения  $N$  и  $\varepsilon$ , получаем всевозможные формы отверстий  $\Gamma$ , например, эллиптическое с полуосями  $a$  и  $b$  ( $N = 1$ ,  $\varepsilon = (a - b)/(a + b)$ ), квадратное ( $N = 3$ ,  $\varepsilon = \pm 1/9$ ), равностороннее треугольное ( $N = 2$ ,  $\varepsilon = \pm 1/4$ ) и т. д. [1].

Используя связь между скалярными функциями в различных системах координат [3], а также формулы (5), (6), граничное условие (4) для последовательных приближений получаем в виде

$$p_e^{(j)}(\rho, \gamma, \tau) = -p_0 \delta(\tau - \rho) \delta_{j0} - \sum_{l=0}^{j-1} \Lambda^{(j-l)} p_e^{(l)}(\rho, \gamma, \tau) \quad (\rho = 1, j = 0, 1, \dots), \quad (9)$$

где формальным образом осуществлена замена  $r$  на  $\rho$ ,  $\theta$  на  $\gamma$ ;  $\delta_{ik}$  — символ Кронекера;  $\Lambda^l$  — дифференциальные операторы, общий вид которых приведен в работах [1, 3]. Исходя из представления (5) и условий (9) убеждаемся в том, что данная задача сводится к последовательности задач для акустической сферы с усложненными условиями на ее поверхности.

С помощью интегрального преобразования Лапласа решение для каждого приближения ( $j = 0, 1, 2, \dots$ ) легко получить в виде

$$p_e^{(j)}(r, \theta, \tau) = -p_0 \sum_{n=0}^{\infty} \int_0^{\tau} I_n(r, \tau - x) \Phi_n^{(j)}(x) dx P_n(\cos \theta), \quad (10)$$

$$I_n(r, \tau) = \frac{1}{r} \sum_{i=1}^{\infty} \{[\delta(\tau + r - 2i) - \delta(\tau - r - 2i)] \delta_{n0} + (1 - \delta_{n0}) F_{ni}(r, \tau - 2i) H(\tau - 2i)\},$$

$$F_{n,i}(r, \tau) = \sum_{i=1}^n \begin{cases} \left. \frac{e^{s(\tau+r)} v_n(sr) s^n}{d_s [v_n(s) s^n]} \right|_{s=s_{ni}} & (\tau \leq r), \\ \left. \frac{e^{s(\tau+r)} v_n(sr) s^n - (-1)^n e^{s(\tau-r)} f_n(sr) s^n}{d_s [v_n(s) s^n]} \right|_{s=s_n} & (\tau > r), \end{cases}$$

$$F_{n,i+1}(r, \tau - 2i - 2) = \int_0^{\tau - 2i - 2} F_{ni}(r, x) Q_n(\tau - 2i - 2 - x) dx,$$

$$Q_n(\tau) = \sum_{i=1}^n \left. \frac{f_n(s) s^n \exp(s\tau)}{d_s [v_n(s) s^n]} \right|_{s=s_{ni}},$$

где  $v_n(s)$ ,  $f_n(s)$  — полиномы Стокса [6];  $P_n(x)$  — полиномы Лежандра;  $H(x)$  — функция Хевисайда;  $i_n(z)$  — сферические функции Бесселя мнимого аргумента;  $s_{ni}$  — корни уравнения  $s^n v_n(s) = 0$ . В приведенных формулах  $\Phi_n^j(\tau)$  — оригинал преобразования Лапласа для функции

$$\begin{aligned} \Phi_n^{(j)}(s) &= \delta_{j0} \delta_{n0} - \frac{2n+1}{2} \exp(s) \sum_{l=0}^{j-1} \sum_{m=0}^{\infty} \Phi_m^{(l)}(s) \times \\ &\times \int_0^n \Lambda^{(j-l)} i_m(sp) P_m(\cos \gamma) \sin \gamma d\gamma \quad (\rho = 1). \end{aligned}$$

Рассмотрим случай, когда функция  $f(\xi)$  имеет вид (8). Используя выражение для оператора  $\Lambda^j$  ( $j = 0, 1, \dots$ ), для функций  $\Phi_n^j$  ( $j = 0, 1, 2$ ) имеем

$$\Phi_n^{(0)}(\tau) = \delta(\tau) \delta_{n0},$$

$$\Phi_n^{(1)}(\tau) = \alpha_{1n} \left[ \delta(\tau) - \delta'(\tau) + 2 \sum_{k=1}^{\infty} \delta'(\tau - 2k) \right], \quad (11)$$

$$\begin{aligned} \Phi_n^{(2)}(\tau) = & - \left\{ \alpha_{2n} \delta''(\tau) - \alpha_{3n} \left[ \delta(\tau) - \delta'(\tau) + 2 \sum_{k=1}^{\infty} \delta'(\tau - 2k) \right] + \right. \\ & \left. + \sum_{m=0}^{\infty} \alpha_{1m} \beta_{1mn} \left[ \left( 1 + \frac{\partial}{\partial \tau} \right) \frac{\partial}{\partial \rho} I_m(\rho, \tau) - 2 \sum_{k=1}^{\infty} \frac{\partial^2}{\partial \tau \partial \rho} I_m(\rho, \tau - 2k) \right] \right\} \\ & (\rho = 1, n = 0, 1, \dots), \end{aligned}$$

$$\alpha_{1n} = \frac{2n+1}{2} \kappa_{N+1,n}, \quad \alpha_{2n} = \frac{2n+1}{2} \kappa_{2(N+1),n} + \frac{1}{4} \delta_{n0},$$

$$\alpha_{3n} = \frac{2n+1}{2} \left[ \sum_{m=0}^{\infty} \alpha_{1m} \alpha_{2m} - \frac{3}{4} \kappa_{2(N+1),n} \right] - \frac{1}{4} \delta_{n0},$$

$$\beta_{1mn} = \frac{2n+1}{2} \left( K_{N,n,m+1} - \frac{m+1}{2m+1} K_{N,m+1,n} - \frac{n}{2m+1} K_{N,m-1,n} \right),$$

$$\beta_{2mn} = \frac{m(m+1)}{2m+1} (K_{N,n,m+1} - K_{N,n,m-1}),$$

$$\begin{aligned} \kappa_{p,n} = & \frac{p}{8} \sum_{m=0}^{[p/2]} (-1)^{m+n} B_{pm} \left\{ \left[ 1 + (-1)^p \right] \frac{(m+p/2)_n}{\left( \frac{p+1}{2} - m \right)_{n+1}} + [1 - (-1)^p] \times \right. \\ & \left. \times \frac{(m-(p-1)/2)_n}{((p+2)/2 - m)_{n+1}} \right\}, \end{aligned}$$

$$B_{pm} = 2^{p-2m} \frac{(p-m-1)!}{m! (p-2m)!}, \quad (\alpha)_n = \frac{\Gamma(\alpha+n)}{\Gamma(\alpha)},$$

$$K_{N,k,n} = \sum_{s=0}^N \gamma_{Nks} \delta_{n+2s-N,k}.$$

Здесь  $\Gamma(X)$  — гамма-функция, а величины  $\gamma_{Nks}$  определяются из рекуррентного соотношения

$$\begin{aligned} (N+2) \gamma_{N+1,n,s} - N \gamma_{N+1,n,s-1} (1 - \delta_{s,0}) (1 - \delta_{s,N+1}) = & 2 \left\{ (1 - \delta_{s,0}) \times \right. \\ \times \left[ \frac{n(n+1)}{2n+1} \gamma_{N,n+2s-N-1,n-s-1} - \frac{(n+2s-N)(n+2s-N-1)}{2n+4s-2N-1} \gamma_{N,n,s-1} \right] + & \\ + (1 - \delta_{s,N+1}) \left[ \frac{(n+2s-N-1)(n+2s-N)}{2n+4s-2N-1} \gamma_{N,n,s} - \frac{(n+1)n}{2n+1} \times & \right. \\ \times \gamma_{N,n+2s-N-1,n-s} \left. \right\} \left( s = 0, 1, \dots, N+1, N = 0, 1, \dots; \gamma_{0n0} = \frac{2}{2n+1} \right). \end{aligned}$$

На основании формул (10), (11) найдем давление в переизлученной волне. Полученное решение позволяет исследовать также смещения в акустическом теле. В частности, нормальные смещения поверхности, ограничивающей объект, в точках  $\gamma = 0$  и  $\gamma = \pi/2$  определяются по формулам

$$\omega(1, \gamma) = \omega^{(0)}(1, \gamma) + \varepsilon \omega^{(1)}(1, \gamma) + \dots,$$

$$\omega^{(0)}(1, \gamma) = \kappa \sum_{i=1}^{\infty} \sum_{v=0}^i [1 - r_0^{-1} (-1)^v \tau^{*i}] H(\tau^{*i}),$$

$$\omega^{(1)}(1, \gamma) = \alpha_{10} \left[ \omega^{(0)}(1, \gamma) - \kappa r_0^{-1} \sum_{i=1}^{\infty} \sum_{v=0}^i (-1)^v \sum_{k=0}^{\infty} (2 - \delta_{k0}) \times \right.$$

$$\times H(\tau^* - 2k) \Big] + \kappa \sum_{n=1}^{\infty} \alpha_{1n} \left[ \int_0^{\tau} x \frac{\partial}{\partial r_0} I_n(r_0, \tau - x) dx - \right. \\ \left. - \sum_{k=0}^{\infty} (2 - \delta_{k0}) \int_0^{\tau - 2k} \frac{\partial}{\partial r_0} I_n(r_0, \tau - x) dx \right] P_n(\cos \gamma),$$

$$\tau^* = \tau + (-1)^j r_0 - 2j, \quad r_0 = (1 + 2\varepsilon \cos 2\gamma + \varepsilon^2)^{1/2}, \quad \kappa = \frac{a_0 \rho_0}{\rho_0 c^2 r_0},$$

где  $\rho_0$  — плотность среды.

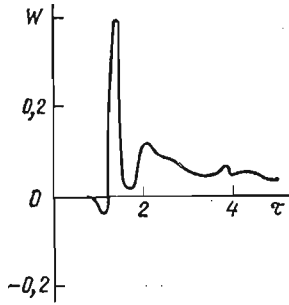


Рис. 2

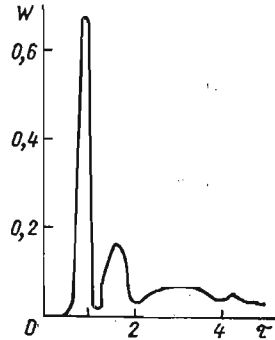


Рис. 3

На рис. 2, 3 приведены графики распределения величины  $W = \frac{\rho_0 c^2}{a_0 \rho_0} \times \omega(1, \gamma)$  в указанных точках в зависимости от времени  $\tau$  для вытянутого сфероида ( $N = 1, \varepsilon = 0, 2$ ), полученные с точностью до трех приближений ( $j = 0, 1, 2$ ). Из этих результатов следует, что часть энергии объемных волн постепенно при повторных отражениях переходит в энергию волн поверхностных. Это явление можно использовать для управления перераспределением энергии источника в нужном направлении.

1. Гузь А. Н., Кубенко В. Д., Черевко И. А. Дифракция упругих волн.— Киев: Наук. думка, 1978.— 307 с.
2. Гузь О. М. Про приближений метод визначення концентрації напружень біля криволінійних отворів в оболонках.— Прикл. механіка, 1962, 8, № 6, с. 605—611.
3. Немши Ю. А. Рекуррентные соотношения метода возмущения в пространственных задачах теории упругости.— Прикл. механіка, 1973, 9, № 9, с. 64—70.
4. Поддубняк А. П., Подстригач Я. С., Грилицкий Д. В. Задача гидроакустики для упругого тела вращения.— Мат. методы и физ.-мех. поля, 1978, вып. 7, с. 3—6.
5. Фелсен Л., Маркувиц Н. Излучение и рассеяние волн.— М.: Мир, 1978.— Т. 1. 547 с.
6. Эхо-сигналы от упругих объектов / У. К. Нигул, Я. М. Метсавээр, Н. Д. Векслер, М. Э. Кутсер.— Таллин: Изд-во АН ЭССР, 1974.— Т. 2.— 346 с.
7. Alterman Z., Kornfeld P. Propagation of a pulse in a fluid sphere.— Geophysics, 1963, 29, N 2, p. 259—287.

Институт прикладных проблем  
механики и математики АН УССР

Поступила в редколлегию  
22.02.79

УДК 534.26

А. Н. Горечко

#### ПРИМЕНЕНИЕ ОРТОГОНАЛЬНЫХ ПОЛИНОМОВ ЛАГЕРРА К РЕШЕНИЮ НЕСТАЦИОНАРНЫХ ЗАДАЧ ДИФРАКЦИИ НА ЦИЛИНДРЕ И СФЕРЕ

Задачи дифракции акустических волн на жестком цилиндре или сфере рассматривались многими авторами. Основным из методов, применяемых при решении этих задач, является метод интегрального преобразования Фурье